

# $A \approx 160$ 区奇质量数 Tm 同位素的能级结构

曾国模<sup>1)</sup> 宋慧超

(吉林大学物理学院,吉林大学理论化学计算国家重点实验室 长春 130023)

**摘要** 利用粒子 - 三轴转子模型,计算了  $A \approx 160$  区奇质量数 Tm 同位素系列的能级结构。通过调整能隙和科氏减弱因子,较好地拟合了各 Tm 同位素的低激发转动带,并给出它们的能隙随中子数变化的规律。

**关键词** 粒子 - 转子模型 三轴形变 Tm 同位素

## 1 引言

近年来,  $A \approx 160$  区 Tm 的奇质量数同位素积累了丰富的实验数据<sup>[1-4]</sup>, 它们大都具有分类清楚、相对完整的能带结构, 便于进行系统地分析。本文将粒子 - 三轴转子模型<sup>[5-8]:2)</sup>应用于同位素系列<sup>[161, 163, 165, 167]</sup> Tm, 分析它们的正宇称态的内禀结构、形变类型, 并考察模型中可调参数随中子数的变化规律。

## 2 理论模型

在粒子 - 三轴转子模型中, 总哈密顿量

$$H = H_{\text{rot}} + H_{\text{sp}} + H_{\text{pair}}, \quad (1)$$

式中  $H_{\text{rot}}$ ,  $H_{\text{sp}}$  和  $H_{\text{pair}}$  分别为三轴转子哈密顿量、单粒子哈密顿量和对相互作用。在该模型中, 未成对的单个核子(奇核子)占据费米面附近不同的形变 Nilsson 势的轨道  $\nu$ , 相应的波函数  $\chi_\nu$  是不同的  $j$  壳层的混杂, 通过求解单粒子哈密顿量  $H_{\text{sp}}$  的本征方程

$$H_{\text{sp}} \chi_\nu = \epsilon_{\text{sp}}^\nu \chi_\nu, \quad (2)$$

而得到

$$\chi_\nu = \sum_{Nlj\Omega} C_{Nlj\Omega}^\nu |Nlj\Omega\rangle, \quad (3)$$

这里  $|Nlj\Omega\rangle$  为  $j^2$  和  $j_z$  的共同本征态。 $H_{\text{sp}}$  可化为

2001-11-20 收稿

1)通讯联系人

2)Semmes P, Ragnarsson I. The Particle + Rotor Model and Its Application, Lecture Notes: School Hands on Nuclear Structure Theory for Experimentalists, Edited by Ragnarsson I and Semmes P

$$H_{\text{sp}} = -\frac{\hbar^2}{2m} \nabla_{\text{sp}}^2 + \frac{1}{2} m\omega_0^2 r^2 \left\{ 1 - 2\beta \left[ \cos \gamma Y_{20} + \frac{1}{\sqrt{2}} \sin \gamma (Y_{22} + Y_{2-2}) \right] \right\} - C_S \cdot I - D [I^2 - \langle I^2 \rangle_N]. \quad (4)$$

通常对上式进行无量纲处理, 将参数  $C, D$  转换为  $\kappa, \mu^{[9]}$ 。在本文的计算中,  $\kappa, \mu$  取为标准值<sup>[10]</sup>, 四极形变参数  $\beta$  和三轴形变参数  $\gamma$  的选取使能谱尽量符合实验值(本文按多数文献中的做法, 取  $\epsilon = \frac{3}{2}\sqrt{\frac{5}{4\pi}}\beta$  以代替  $\beta$ )。通过核心第二和第一条  $2^+$  能级的比值, 即  $E(2_2^+)/E(2_1^+)$ , 可估计出  $\gamma$  的值<sup>[5]</sup>。

奇核子与非对称的转动核心, 即三轴转子相耦合, 总波函数由下式给出:

$$|IM\rangle = \sum_K a_K^I |IMK\nu\rangle, \quad (5)$$

其中  $|IMK\nu\rangle$  为强耦合基,

$$|IMK\nu\rangle = \sqrt{\frac{2I+1}{16\pi^2}} \sum_{Nlj\Omega} C_{Nlj\Omega} [D_{MK}^I |Nlj\Omega\rangle + (-1)^{(I-K)} D_{M-K}^I |Nlj-\Omega\rangle], \quad (6)$$

这里  $K$  为总角动量  $I$  在本体坐标系  $z$  轴的投影, 其可取值为  $|K| \leq I$  的一组半整数值。由于核心为三轴转子( $\gamma \neq 0$ ),  $K$  不是好量子数, 通常用符号  $\bar{K}$  表示总波函数的最大分量的  $K$  值并按  $\bar{K}$  值划分能带<sup>[6]</sup>。为了便于讨论问题, 限定  $K$  的正常态和时间反演态分别同  $\Omega$  的正常态和时间反演态取相同的一组值。正常态  $K = -5/2, -1/2, 3/2, \dots$ , 其时间反演态  $-K$  相应取值为  $-3/2, 1/2, 5/2, \dots$ 。对于某一总角动量  $I$ , 选取费米面附近具有相同宁称的 3—4 条轨道张成模型空间<sup>[5]</sup>, 费米面利用关系式

$$\sum_{\mu} \left[ 1 - \frac{(\epsilon_{\mu} - \lambda)}{\sqrt{(\epsilon_{\mu} - \lambda)^2 + \Delta^2}} \right] = n_0 \quad (7)$$

算出。由(6)式知,  $K$  只需取正常态的一组值或时间反演态的一组值, 整个模型空间的维数为  $K$  与  $\nu$  所有可能的取值组合的个数。在此基下, 将三轴转子哈密顿量

$$H_{\text{rot}} = \sum_{i=1}^3 \frac{\hbar^2 R_i^2}{2J_i} = \sum_{i=1}^3 \frac{\hbar^2 (I_i - j_i)^2}{2J_i} \quad (8)$$

对角化, 即可得到(5)式中的系数  $a_K^I$ 。式中  $j, R$  和  $I$  分别为单粒子角动量、转子角动量和总角动量。转动惯量  $J_k$  采用流体力学惯量公式得到,

$$J_k = \frac{4}{3} J_0 \sin^2 \left( \gamma + \frac{2\pi}{3} k \right), \quad (9)$$

其中  $J_0$  由第一个  $2^+$  能级给出。

(1) 式中的对相互作用  $H_{\text{pair}}$  用标准 BCS 方法处理, 相关的矩阵元均可由纯单粒子矩阵元乘以系数  $(u_{\mu} u_{\nu} + v_{\mu} v_{\nu})$  得到。对非对角单粒子矩阵元还需乘以 Coriolis 减弱因子  $\xi$ , 以修正理论结果。本文将  $\xi$  作为可调参数。

### 3 结果和讨论

将上述模型应用于<sup>161, 163, 165, 167</sup>Tm, 在计算过程中, 取费米面附近第 16 至 19 条轨道, 并

调整能隙和科氏减弱因子的数值,使理论值与实验值有较好的符合。表 1 列出了计算中所需的各输入量和拟合参数。作为示例,图 1 给出了 $^{165}\text{Tm}$  费米面附近的单粒子 Nilsson 能级图。

表 1 计算中所需的参数和输出参数

$A$	$\gamma/(\text{°})$	$\epsilon$	$J_0/\hbar^2 \text{ MeV}^{-1}$	$\xi$	$\Delta/\text{MeV}$	$\lambda/\text{MeV}$
161	15.065	0.225	27.36	0.9863	1.51	41.77
163	13.297	0.242	32.73	1.0	1.32	41.47
165	12.890	0.255	36.31	1.0	1.13	41.19
167	12.676	0.260	41.05	0.97	0.96	41.05

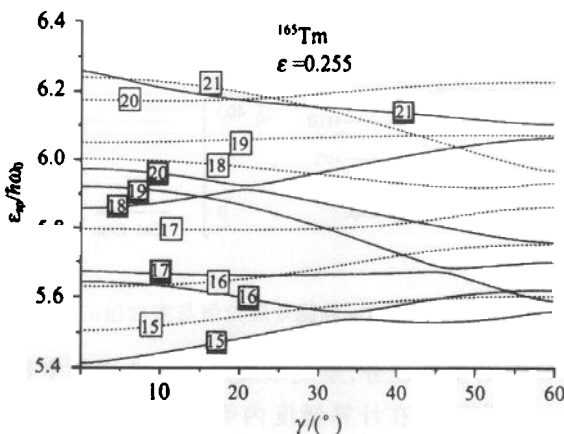
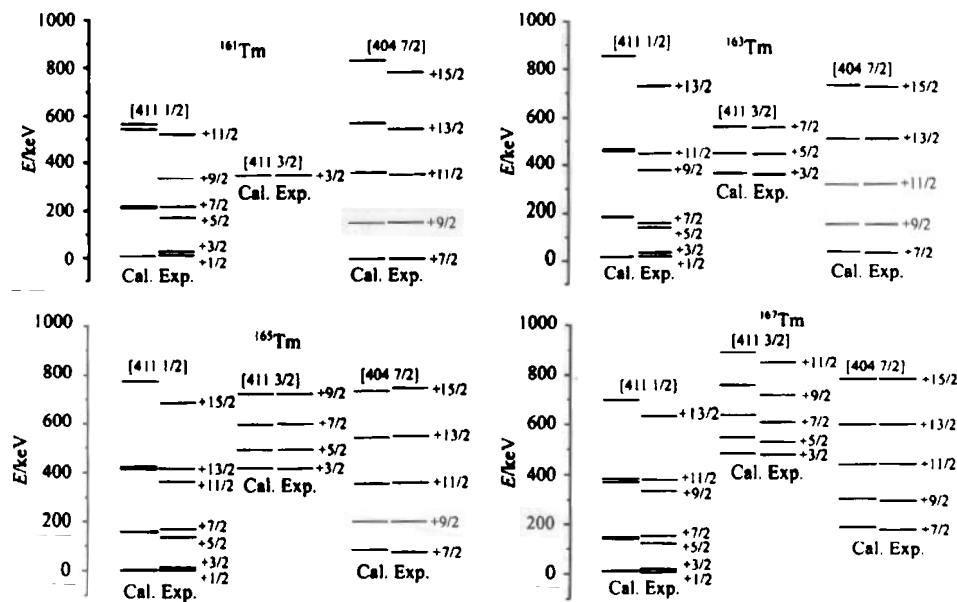


图 1  $^{165}\text{Tm}$  费米面附近单粒子 Nilsson 能级图  
实线和虚线分别代表正宇称和负宇称。

$A \approx 160$  区 Tm 同位素系列非轴对称形变都比较小,所以它们的单粒子波函数相对来说都比较纯,在实验上可以观测到类似于轴对称奇  $A$  核的能谱。作为一个示例,表 2 给出 $^{165}\text{Tm}$  的单粒子波函数的计算结果(只给出几率较大的成分)。由表 2 可见,第 17—19 条轨道的最大成分为  $|42 \frac{5}{2} - \frac{3}{2}\rangle$ (占 67.1%),  $|42 \frac{3}{2} \frac{1}{2}\rangle$ (占 46.5%),  $|44 \frac{7}{2} - \frac{7}{2}\rangle$ (占 93.7%)。这些主要成分与轴对称势场中的 Nilsson 能级(用渐近好量子数  $[Nn, \Lambda\Sigma]$  标志)相对应,我们据此将第 17—19 条单粒子轨道近似地划归相应的 Nilsson 轨道,分别记为 [411 3/2], [411 1/2] 和 [404 7/2],这些单粒子态再分别同核心耦合成相应的转动带。在图 2 中,我们依此将 $^{[161, 163, 165, 167]} \text{Tm}$  的低激发谱划分成 7/2[404], 1/2[411] 和 3/2[411] 等能带,并将理论谱与实验谱进行了比较,实验数据分别取自文献[1—4]。

表 2  $^{165}\text{Tm}$  的单粒子波函数

轨道序号( $v$ )	波函数 $ Nn\Lambda\rangle$		
16	0.885  44 7/2 5/2>	-0.233  42 5/2 - 3/2>	-0.205  42 3/2 1/2>
17	0.819  42 5/2 - 3/2>	-0.315  44 7/2 - 3/2>	-0.302  44 7/2 5/2>
18	0.682  42 3/2 1/2>	0.411  42 5/2 1/2>	-0.355  44 7/2 1/2>
19	0.968  44 7/2 - 7/2>	-0.174  42 3/2 3/2>	0.114  66 11/2 - 7/2>

图 2  $^{161, 163, 165, 167}\text{Tm}$  各能带理论值与实验值的比较

分析第 17—19 条轨道的主要成分,发现未成对核子轨道中主要 Nilsson 能级的角动量在  $z'$  轴(本体坐标系)上的投影  $\Omega$  在计算精度内等于总角动量  $I$  在同一方向的投影  $K$  的值,这与轴对称的情况很相似,这是由于非轴对称形变  $\gamma$  比较小的缘故。通过调整  $\gamma$  的数值,我们发现相对其他能级而言  $1/2$  带、 $3/2$  带和  $7/2$  带内的能级随  $\gamma$  变化不大,因而推测当奇  $A$  核体系处于这些带中时,转子所处的状态恰好是偶偶核心的正常态。

$A \approx 160$  区奇质量数 Tm 同位素的未成对核子为质子,它们占据大致相同的单粒子轨道,所以实验和理论给出的各同位素的能谱非常相似。虽然非轴对称形变  $\gamma$  不为零,因而总角动量  $I$  在本体坐标系中的投影  $K$  不再为好量子数,但该区 Tm 同位素的  $\gamma$  形变均较小,粒子-转子总的波函数中许多取值几率最大的成分的几率值都在 80% 以上,所以我们按这些成分的  $K$ (记为  $\bar{K}$ ) 值对转动带进行了划分<sup>[6]</sup>,并同实验结果进行了比较。表 3 以  $^{165}\text{Tm}$  为例,给出了几个主要的能量值和波函数结构。

表 3  $^{165}\text{Tm}$  的能级、波函数及能带划分

$I$	$E/\text{keV}$	波函数 $ K\rangle$		所属能带 $\bar{K}$
$(1/2^+)_1$	0.0	$-0.988   18 1/2 \rangle$	$0.117   16 1/2 \rangle$	$-0.105   17 1/2 \rangle$
$(3/2^+)_1$	0.3	$-0.988   18 1/2 \rangle$	$0.115   16 1/2 \rangle$	$-0.100   17 1/2 \rangle$
$(3/2^+)_2$	417.5	$-0.860   17 -3/2 \rangle$	$0.465   18 -3/2 \rangle$	$0.209   16 -3/2 \rangle$
$(5/2^+)_1$	489.6	$0.838   17 -3/2 \rangle$	$-0.452   18 -3/2 \rangle$	$-0.203   16 -3/2 \rangle$
$(7/2^+)_1$	87.2	$0.992   19 -7/2 \rangle$	$0.111   16 5/2 \rangle$	$+0.039   17 5/2 \rangle$

利用表 2 和表 3,可以估计各内禀态的贡献。例如  $^{165}\text{Tm}$  的  $I = (1/2^+)_1$  态( $|18 1/2\rangle$  带带头,其中  $|18 1/2\rangle$  态占 97.6%),由表 1 可以看出第 18 条单粒子轨道存在着强烈的组态混

合,仍用渐近好量子数 [ $Nn_3\Lambda\Sigma$ ] 标志, [411 1/2] 占 46.5%, [420 1/2] 占 16.9%, [431 1/2] 占 12.6%。由于三轴形变,  $K$  与  $\Omega$  并不相等, 第 18 条轨道的各内禀态对  $I = (1/2^+)_1$  能级均有贡献: [411 1/2](45.4%), [420 1/2](16.5%), [431 1/2](12.3%)……。由以上分析, 我们将  $I = (1/2^+)_1$  能级划分到取值几率最大的内禀态 [411 1/2] 带中。同样, 也可以对带内各能级进行内禀态贡献的估计, 并确认这些能级属于该转动带。对于  $I = (3/2^+)_2(117 3/2)$  带带头),  $I = (7/2^+)_1(119 7/2)$  带带头) 做同样分析可知, 对它们贡献最大的内禀态分别为 [411 3/2](49.6%), [404 7/2](92.2%)。这与实验上将它们分别作为 [411 3/2] 带和 [404 7/2] 带带头的结果是一致的。同时, 由理论计算所得的波函数可以看出, 划分在 [404 7/2] 带内的各能级中内禀态  $|404 7/2\rangle$  所占的几率均较大, 因而实验上对于  $A \approx 160$  区各 Tm 同位素均可以观测到一条较好的 [404 7/2] 带。而对于 [411 3/2] 带中各能级, 内禀态  $|411 3/2\rangle$  本身所占的几率相对较小, 所以实验上能够观测到的能级较少。

理论计算的 4 个同位素的  $1/2[411]$  带同实验相比, 偏差均较大, 这是由于第 18 条轨道波函数不是很纯的缘故(见表 2)。可以考虑用实验测得的脱耦合参数对理论结果进行修正<sup>[7]</sup>。

由表 1 可以看出, 4 个同位素的科氏减弱因子  $\xi$  都很接近 1, 但  $7/2[404]$  转动带随科氏减弱因子变化得很灵敏, 在理论计算中我们通过细微地调整科氏减弱因子, 使理论值和实验值符合得很好。

由于 Tm 同位素系列中子数各不相同, 它们的形变也略有不同。这导致它们在费米面附近的单粒子能级大小稍有差异, 而费米面本身亦有所不同。 $3/2[411]$  能级随能隙变化较灵敏, 我们通过调整能隙值, 拟合了  $3/2[411]$  能级, 发现能隙随中子数的变化呈近乎线性的规律, 如图 3 所示。

考虑到  $A \approx 160$  区 Tm 同位素系列十六极形变均较小<sup>[8]</sup>, 在上述计算中, 我们忽略了十六极形变。考察理论值与实验值符合得最好的  $^{165}\text{Tm}$ , 其核心  $^{164}\text{Er}$  在四极与十六极形变图中<sup>[8]</sup>, 恰好处于十六极形变为零的区域。通过对偶偶核心  $^{164}\text{Er}$  的能谱计算表明,  $^{164}\text{Er}$  的能谱与实验值符合得也较好, 而  $^{161}\text{Tm}$  和  $^{163}\text{Tm}$  的核心能谱与实验相比要差一些, 且  $^{161}\text{Tm}$ ,  $^{163}\text{Tm}$  和  $^{167}\text{Tm}$  均有一小的十六极形变, 所以这些核的计算结果同实验值的差别要大一些。

这表明, 若顾及十六极形变的影响应能更精确地拟合能谱。

以上结果均为低能级的情况, 计算中把转动惯量作为常量来处理, 实际上转动惯量是一个随  $I$  增加的量, 因而可以考虑对转动惯量进行修正。

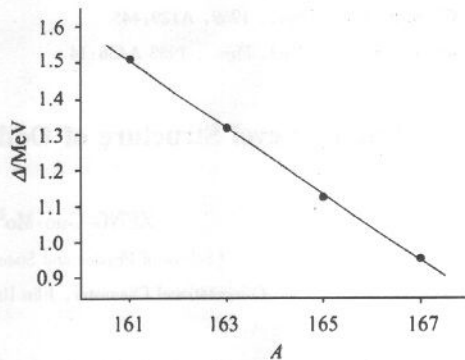


图 3 能隙随  $A$  的变化

圆点根据表 1 给出, 直线为对这些点的线性拟合。

## 4 结束语

本文利用粒子-转子模型研究了 $^{161,163,165,167}\text{Tm}$ 的能级结构,通过调整科氏减弱因子和能隙较好地拟合了 $^{161,163,165,167}\text{Tm}$ 的能谱,并通过对其内禀态(波函数)的分析,解释了为什么实验上对于有些能带可以观测到较多能级,而有些不能。利用所得到的波函数,还可以进一步计算 E2 跃迁几率和电四极矩,并与实验进行比较。

本文最后给出了能隙随中子数的变化曲线。但单从拟合能谱的角度来给出能隙的变化规律,证据有些不足,除了用好的转动谱作为能隙变化规律的判据外,还迫切需要一些新的实验和理论上的证据。例如在这个区域进一步讨论轴对称核能隙随中子数变化的规律,或直接用偶偶核进行讨论等。

感谢 Ingemar Ragnarsson 教授的有益讨论。

## 参考文献(References)

- 1 Reich C W, Helmer R G. Nuclear Data Sheets, 2000, **90**:645
- 2 Singh B, Farhan A R. Nuclear Data Sheets, 2000, **89**:1
- 3 Peker L K. Nuclear Data Sheets, 1987, **50**:645
- 4 Baglin C M. Nuclear Data Sheets, 2000, **90**:431
- 5 Larsson S E, Leander G, Ragnarsson I. Nucl. Phys., 1978, **A307**:189
- 6 Vieu Ch et al. J. Phys., 1978, **G4**: 531
- 7 Ragnarsson I, Sheline R K. Physica Scripta, 1984, **29**:385
- 8 Larsson S E et al. Physica Scripta, 1973, **8**:17
- 9 Nilsson B. Nucl. Phys., 1969, **A129**:445
- 10 Bengtsson R et al. Nucl. Phys., 1985 **A436**:14

## Energy Level Structure of Odd-*A* Tm Isotopes in *A* ≈ 160 Region

ZENG Guo-Mo<sup>1)</sup> SONG Hui-Chao

(School of Physics and State Key Laboratory of Theoretical and Computational Chemistry, Jilin University, Changchun 130023, China)

**Abstract** The energy levels of odd-*A* Tm isotopes in *A* ≈ 160 region are calculated using the particle plus triaxial rotor model. The low lying bands of the isotopes are fit well by changing the energy gap and Coriolis attenuation factor. A possible relation between energy gap and neutron number is presented.

**Key words** particle-rotor model, triaxial deformation Tm isotopes

Received 20 November 2001

1) Correspondent